

名古屋大学 大学院 ○学生員 佐藤 健  
名古屋大学 工学部 正会員 植下 協一  
名古屋大学 工学部 正会員 板橋 雄

## 1. まえがき

筆者らは、濃尾平野の地盤沈下問題を合理的に解決すること目的として、およそ  $1300 \text{ km}^2$  といわれてゐる濃尾沖積平野地下水盆地をモデル化し、三次元有限要素法を用いて水収支解析を行なってきた。その一部は、すでに報告した通りであり<sup>1), 2)</sup>、その後の計算結果の報告を行なう。

## 2. 水收支モデル構成の手順

## 2.1. 地盤構造のモデル化

地質断面図にまとめ、図-1に示すよろ、深土方向と層のモードルを考えた。帶水層以外の層については、粘土層などより軟弱層の他に、砂層などの透水性の層も含まれているが、等価の比貯留量、透水係数を与えることにより、均質な層から成るとした。

## 2.2. 地下水盆地領域と小領域区分

モデルの平面的広がりを図-2に示した。モデル化された面積は、 $1164 \text{ km}^2$ であり、震尾沖積平野の約9割をカバーしている。

モデル各層と実際の土質状況との対応を考慮して、15種の小領域区分を行なった<sup>2)</sup>。そして、これら小領域内の透水係数、比貯留量は、地盤沈下観測井設置時に用いたボーリング調査結果等にもとづいて算出した。

### 2.3. 境界条件の設定

図-3ド、モデルに与えた境界条件を模式的に示した。地表面の水頭は、河川水、雨水等により、つねに一定に保たれるとし、その高さを、地盤高に一致させた。モデル第5層下面是、不透水面とした。モデル南面部では、モデル内外の水頭差による地下水流入があるとした。また、揖斐川支流がつくる扇状地から横方向流入、名古屋市東部の第2帶水層からの横方向流入を、流量一定の境界条件(これについては、修正を考慮中)として仮定した。

## 2.4. 揚水量の算定および初期条件の設定

前掲の図-2に示した、各メッシュ、各層ごとの揚水量を求めるため、昭和48年度の揚水量実態調査資料を用いた。

計算に必要な初期条件は、昭和36年の地下水頭値を用いた。先述の揚水量実態調査資料には、井戸開削時の井戸水位と、昭和48年の現在水位が、記録されている。よって、ストレーナー深度が明確な単層取水井における記録値の、内蔵あるいは外挿により、昭和36年の地

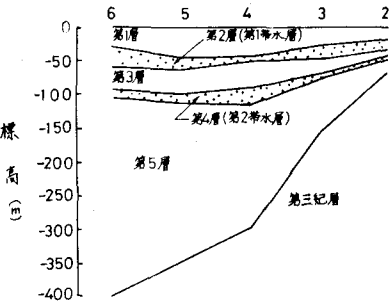


図-1 濱尾地下水盒モデル東西断面、例  
(M-M断面、図-2参照)

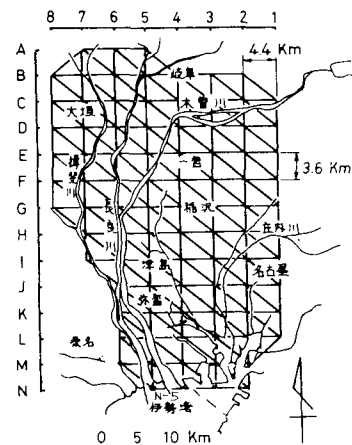


圖-2 濃尾地下水全有限要素人，五

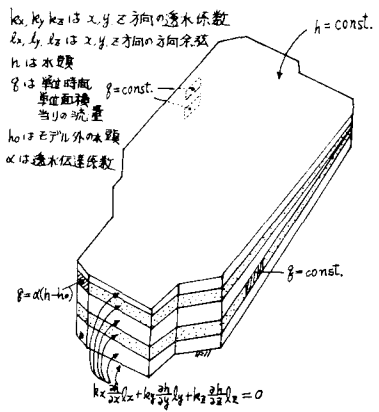


図-3 境界条件を示す模式図

下水頭値を求めた。

### 2.5. 内挿検定によるモデル地下水盆地のチェックと水収支状況

以上の作業にまとめて、昭和36年から昭和48年まで計算を行なった。昭和48年の計算水頭分布と実測水頭分布を、図-4に示した。水頭分布の全体的傾向は、計算値、実測値とも、かなりよく一致する。

昭和48年ににおける、地下水規制区域別（Aは愛知県第1規制区域、B<sub>1</sub>は三重県1号規制区域、B<sub>2</sub>は愛知県第2規制区域、Cは岐阜県域を示す）の水収支状況を、模式的に、図-5に示した。表-1に、昭和40、44、48年の各地区的水収支の赤字量を示した。モデル地下水盆地では、水収支の赤字量は、各地区とも、昭和40年以来増加し続けており、地下水の過剰揚水の状況が、よく理解できる。

### 3. 揚水量の変化に伴う地下水頭の変化

濃尾平野では、昭和49年より順次、揚水規制が施行されている。先述の、各揚水規制区域別に、次に示す各揚水計画を仮定して、各計画の効果を調べる。

**計画I** — 昭和51年以降は、A地区において昭和48年の揚水量の2割をカットし、B<sub>1</sub>、B<sub>2</sub>地区においては、昭和52年より昭和48年の揚水量の2割をカットする。

**計画II** — 計画Iのると、A、B<sub>1</sub>、B<sub>2</sub>地区について、揚水量を昭和55年まで毎年1割ずつ減少させてやく。

**計画III** — A、B<sub>1</sub>、B<sub>2</sub>地区で、昭和48年以降揚水量を昭和48年の現状維持とする。C地区では、昭和53年より、昭和60年まで毎年昭和48年の揚水量を1割ずつカットする。

各揚水計画の揚水量の推移を図-6に、モデル南西部のN5地点（図-2参照）の、各揚水計画にともなう水頭変化を図-7に示した。なお、同図には、計算地点の近くにある深井戸の観測水位も、合わせて示した。

図-7によれば、第2帶水層の水頭回復は、第1帶水層にくらべ、主として遅いことがわかる。

### 4. 結論、あとがき

濃尾地下水盆地という広大な対象領域に、三次元有限要素法を用いて、水収支解析を行なうことの可能性が十分理解された。しかし、境界条件をはじめとして、なお多くの解明すべき点が残されており、さらには検討と改善を加えつつある。

### 参考文献

- 植下、板橋。棚橋：濃尾平野地盤沈下の解析、土木学会第31回年次学術講演会概要集、昭和51年10月。
- K.Ueshita, K.Itabashi, H.Tanizaki and T.Sato: "Modeling of the Nobi Ground Water Basin to solve the Subsidence Problem" Proc. specialty session on Geotechnical Engineering and Environmental Control, 9th ICSMFE, 1977, pp.445-480.

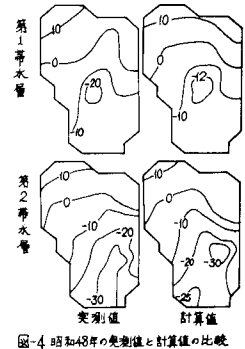


図-4 昭和48年の実測値と計算値の比較

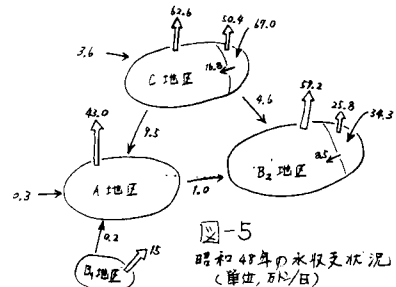


図-5

昭和48年の水収支状況  
(単位: 10<sup>4</sup>m<sup>3</sup>/日)

表-1 揚水規制区域別の地下水分不足量

揚水規制区域	A	B <sub>1</sub>	B <sub>2</sub>	C
面積 (km <sup>2</sup> )	380.16	71.20	174.24	269.28
地下水不足量 (m)	40 8.90 9.10 30.80 42.40	44 21.00 9.70 38.20 48.90	48 .34.00 15.20 45.10 56.50	

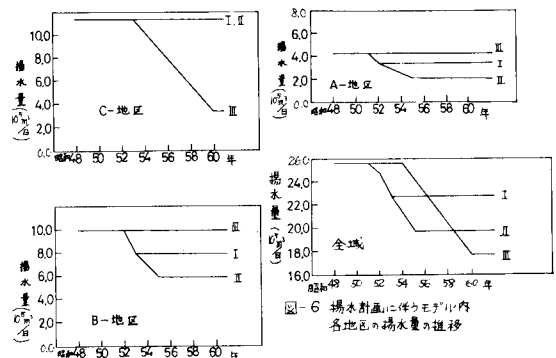


図-6 揚水計画に伴うモードル内各地区的揚水量の推移

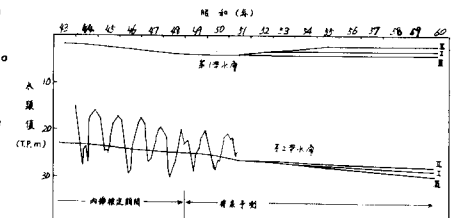


図-7 N5地点(E-2号井)の計算水頭値の推移  
(実測値12, 中間高さ14, S-4井)